

## تحليل تردد الجفاف الهيدرولوجي

(دراسة حالة)

الدكتور كامل علي عبدالمحسن

أستاذ مساعد-قسم هندسة الموارد المائية-جامعة الموصل

### المستخلص

خلص البحث الحالي إلى إمكانية دراسة وتحليل احتماليات تردد فعالية الجفاف (فترّة وقسّوة). إن نتائج البحث مبنية بشكل أساسي على دراسة حالة الجريان السنوي في محطة قياس تصريف الفتحة الواقعة على نهر دجلة (العراق)، للفترة (1931-1988). استخدمت سلسلة الجريان المسجلة كأساس لتقييم فترّة وقسّوة الجفاف الهيدرولوجي المرصودة. لقد تم اعتماد نظرية الحدث المستمر (Theory of Runs) لإيجاد احتماليات حدوث فترات جفاف حرجية وبقسّوة معينة. كما واستخدمت هذه السلسلة لغرض استحداث ثلاثة نماذج تصاديّه هي:  $(AR_{(1,1)}, AR_{(2)}, AR_{(1)})$  وذلك بالاستفاده من التقنية الجديدة (SAMS-2007) لتوليد بيانات إضافية (لتعزيز التعويل عليها إحصائيًا) في استقراء فترّة الجفاف خاصة وأن أعداد السلالس المولدة قد تراوح بين 100-10000 سلسلة. لقد ساهمت هذه النماذج في تسهيل عملية تخمين احتمالية قسّوة الجفاف التي يصعب اشتراكها رياضيًّا. تفاوت أداء النماذج المستخدمة في إمكانية محافظتها على الخواص الإحصائية للسلسلة الزمنية المرصودة، ففي الوقت الذي اظهر احدها قدرًا من المحافظة على بعض المعالم المرصودة، اخفق في تخمين معلم آخر. استنتج البحث بأن اعتماد النموذج المناسب يجب أن لا يكون مبنياً على مدى تقارب المعالم الإحصائية المخمنة مع تلك المرصودة فقط، وإنما يتوجب الاستدلال عليه من خلال إمكاناته في تخمين بعض المعطيات الأخرى كعدد فترات الجفاف وحجم الخزين.

## Frequency Analysis of Hydrologic Drought (Case Study)

Dr. Kamel A. Al-Mohseen

Assistant Professor – Water Resources Engineering Department- University of Mosul e-mail<  
[almohseen2000@yahoo.com](mailto:almohseen2000@yahoo.com)>

### ABSTRACT

In this paper, the possibility of studying the occurrence probabilities of hydrologic drought events has been explored. The obtained results were based on the case study of the annual inflow to Fatha discharge station on Tigris river, Iraq, over the period (1931-1988). This recorded time series is basically used to evaluate the observed duration and severity of the drought. The theory of runs is adopted to estimate, both, the probabilities of duration and severity of the drought. Three stochastic models have been used for modeling the hydrologic process having short-term time dependence to generate additional data for statistical inferring of the drought duration. Models such as( $AR_{(1)}, AR_{(2)}$ ,and  $ARMA_{(1,1)}$ )have been formulated by means of modern techniques called (SAMA-2007). The number of the generated series was ranging between 100 to 10000 series. This help in the estimation of the probabilities of drought severity for which no rigorous mathematical solution is exist yet. Discrepancy in the performances of the proposed models have been noticed, especially in their capabilities of preserving the statistical properties of the observed time series. It is concluded that while a certain model has a satisfactory performance in preserving certain parameters, it failed in the estimation of other parameters.

(Keywords: Drought, Stochastic Modeli

يُعد الماء عصب الحياة الرئيس ، لذا أصبح من الأهمية بمكان فهم آلية وجوده وانتقاله من حالة إلى أخرى ضمن دوره الهيدرولوجية وضرورة التفكير بأساليب مبتكرة من أجل ديمومة تدفقه في المكان والزمان حين تشنّد الحاجة إليه بالكمية والنوعية المطلوبة.

يجمع علماء التاريخ على حدوث فترات جفاف طويلة الأمد وقاسية (ربما تكون قد امتدت لعدة عقود) تعرضت لها بعض المجتمعات البشرية وكان لها اثر بالغ في التسبب بتغيرات ديموغرافية وهجرات واسعة من مكان إلى آخر حيث يتوفر الماء والكلأ. بالإمكان اعتبار أقدم إستراتيجية وضع وبشكل استباقي لمقاومة موجة الجفاف المتوقعة قد جاء ذكرها في القرآن الكريم وفي سورة يوسف على وجه التحديد.

إن ظاهرة الجفاف هي من الظواهر التي لا يمكن منها، غير أنه يمكن الحد من قسوة أثرها على المجتمع بدراساتها بشكل مستفيض ومحاولة وضع مؤشرات تدلل على حدوث أو قرب حدوث هذه الظاهرة وبذلك سيكون بالإمكان اتخاذ تدابير احترازية لعرض التخفيف من قسوتها. لقد جرت العادة (في بلداننا بشكل خاص) على إن هذه التدابير غالباً ما تتخذ بعد وقوع الكوارث الطبيعية مما يجعله رد فعل سلبي في الوقت الذي يجب أن يكون هنالك خطة للطوارئ ومجموعة إجراءات تتخذ قبيل وأثناء وبعد وقوع الحدث.

إن إلبالغ درس يمكن تعلمه من التعرض إلى موجة الجفاف هو الثمن الذي يتوجب علينا دفعه نتيجة لعدم الخزن والترشيد في استخدام المياه أثناء فترات الوفرة. ومن صفات ظاهرة الجفاف إنها تؤثر على المكان الذي تحدث فيه بشكل تدريجي وتحكم قبضتها عليه كلما طالت فترتها، فقد يوم الجفاف في بعض الحالات المتطرفة إلى عدة سنوات بحيث يفتاك بالزرع والضرع، وإن أصعب ما في الأمر هو كيفية تحديد بدايته ونهايته.

لا يقتصر تعريف الجفاف على كونه ظاهره طبيعية فقط وإنما يعتبر فعالية (Process)[1] تتطور مع الزمن وتصبح أشد فتكا (Severity) كلما طالت فترة (Duration) تأثيرها. كما أنه لابد من تصحيح الخطأ الشائع بأن ظاهرة الجفاف مقتصرة ومقتصرة على المناطق الجافة وشبه الجافة، في الواقع ليس هناك أية رقعة جغرافية مستثناء من ظاهرة الجفاف غير إن تعريف هذه الظاهرة يختلف من مكان إلى آخر. فعلى سبيل المثال وكما ورد في [2] فإنه يمكن القول بأن جزيرةBallary الاندونيسية تمر بحالة جفاف إذا نصادر حدوث ستة أيام متتالية بدون أمطار في حين لا يعلن عن الجفاف في Libya إلا بعد سنتين متتاليتين من عدم سقوط الأمطار.

تعتبر نظرية (الحدث المستمر) (Theory of Run) هي النظرية المتداولة والمقبولة من قبل المهتمين بالبحث في موضوعة الجفاف منذ إن تم اقتراحها من قبل [3]. اجري عدد من الدراسات والبحوث في موضوع الجفاف وخاصة الجفاف الهيدرولوجي ومنها الدراسة التي أجراها [2] حول وضع تعريف واضح لفعالية الجفاف بأنواعه المختلفة. كما تحرى [4] التوزيع الاحتمالي لفترات الجفاف الحرجة المستقلة أو ذات الاعتمادية لتختلف زمني مقداره فترة واحدة بالاعتماد على نظرية المتغيرات العشوائية المتطرفة. كما درس [5] ملائمة توزيع بواسون (Poisson Distribution) في تحديد احتمالية قسوة الجفاف. وقام [6] بتحليل المعالم الإحصائية للجفاف في حوض نهر Cache la Poudre) باستخدام نموذجين أولهما تصادفي والآخر نموذجاً للمحاكاة. فيما تبني [7] مفهوم فترة العودة (return period) الذي يعرف بأنه معدل الفترة الزمنية المتوقعة بين حدفين متتالين ومدى ملائمته لفترات الجفاف المتطرفة. اقترح [8] نموذجاً متقطعاً ذات رتبة واطئة من نوع الارتباط الذاتي والمعدل المتحرك (DARMA) لنموذج التغایر في حدوث السنوات الرطبة والجافة. ولقد ركز الباحثان على حدوث ظاهرة الجفاف وبشكل خاص على فترة الجفاف وعلى المجازفة (risk) المقترنة بها. وقد تم التتحقق من صحة النتائج بتجارب محاكاة تستخدم أسلوب مونتي-كارلو. تم تطبيق الطريقة المقترنة باستخدام بيانات لجريان السنوي لنهر بليت في كولورادو ونهر النيل في أفريقيا. استنتجت الدراسة ان نموذج (DARMA) ملائم لوصف ونموذج الجريان للسنوات الرطبة والجافة. كما اعتمد [9] طريقة إحصائية لا معلميه لحساب التوزيع التساهمي (Joint Distribution) لخواص الجفاف الموصوفة بالفترة والقصوة. وقد تم تقييم ظاهرة الجفاف من خلال قيم الجريان المرصود لحوض نهر كونشوس في المكسيك، إذ تم تخمين فترات العودة المختلفة للجفاف باستخدام الأسلوب المقترن وحل [10] قسوة الجفاف وفترته باستخدام بيانات لجريان لمدة 42 سنة ولخمسة مواقع تقع على نهر بيتوا في الهند. لقد استخدمو مؤشراً جديداً لتحديد مدى قسوة الجفاف يدعى (DSIe). إن DSIe هو دالة لـ (1) نسبة النقص في حجم الجريان الوارد إلى قيمة (حجم) مرجعية محددة، (2) نسبة الفترة الزمنية للنقص الحاصل في الجريان الوارد إلى أطول فترة زمنية لحدث الجفاف. وجدت هذه الدراسة إن منطقة أعلى النهر هي عرضة لجفاف أكثر قسوة من ذلك الذي يحصل في أسفل النهر، ووجد إن احتمالية قسوة حدوث الجفاف الذي يبدأ في الأشهر (آب إلى تشرين الثاني) أعلى من تلك التي تحدث في الأشهر الأخرى على الأرجح.

وقد صدرت مؤخراً دراسة [11] حول موضوع الجفاف والتي تضمنت ثلاثة مراحل: الأولى، تطبيق نموذج ماركوف على الجريان السنوي لمحطة قياس واقعة على نهر كوسكو في تركيا. وتضمنت المرحلة الثانية تحليلاً لفعالية الجفاف، فيما اشتملت الثالثة على دراسة تأثير التنبذب في شمال الأطلسي (NAO) على دالة كثافة الاحتمال (PDF). وتوصل

البحث الى إمكانية استخدام دوال احتماليات الجفاف التي تم الحصول عليها للأغراض التصميمية مع الأخذ بهامش للمجازفة (risk) بنظر الاعتبار.

### دراسة ظاهرة الجفاف في العراق

إن تأثيرات ظاهرة الجفاف في القطر العراقي وخاصة خلال السنوات الأخيرة قد أمست واضحة للعيان إذ يلاحظ ازدياد معدلات العواصف الرملية وتصاعد الأتربة والغبار والتي أصبحت تترد بشكل مستمر وبمعدلات تفوق معدلاتها السابقة وذلك بسبب ظاهرة التصحر التي يعني منها البلدو التي من أحد أهم أسبابها هو ظاهرة الجفاف. ناهيك عما يعنيه من نقص شديد في تساقط الأمطار والتي هي دون معدلاتها لسنوات متتالية وما يتبع ذلك من شحه في موارده المائية. لم يزل موضوع الجفاف كظاهرة هيدرولوجية متطرفة نفس الاهتمام الذي أولاه الباحثون لموضوع ظاهرة الفيضان. بيد إن هذا الأمر لا يقتصر على القطر العراقي بشكل خاص وإنما يكاد يكون اتجاهها عالميا. وبناء على ذلك لا تتوفّر دراسات جدية عن موضوع الجفاف الهيدرولوجي في أحواض الأنهر العراقية (على حد علم الباحث) عدا تلك التي أجرتها Fattah عام 1979. فقد تناولت دراسة [12] تحليلات تردد الجفاف Frequency Analysis باعتبار إن هذه الأحداث (فترات الجفاف) مستقلة على بعضها البعض من الناحية الإحصائية (Independent). وقد استنجدت التوزيعات الإحصائية الملائمة والتي بإمكانها استيعاب البيانات المرصودة لعدة محطات قياس تصريف موجودة في أحواض بعض الأنهر العراقية. لقد عرفت هذه الدراسة فترات العودة للجفاف بمعدل أوطا تصريف يمر في مقطع النهر خلال خمسة أيام متتالية. كما حاول [13] تقدير احتمالية تردد الجفاف لنهر الزاب الأعلى باستخدام ثلاث توزيعات إحصائية هي التوزيع اللوغاريتمي الطبيعي ذو الثلث معالم وتوزيع بيرسون نوع-3 وتوزيع كامبل نوع-3. وقد استنتجوا أن توزيع كامبل نوع-3 هو الأفضل في تخمين فترات عودة الجفاف لنهر الزاب الأعلى.

ومما تجدر الإشارة هنا إلى أن كلتا الدراستين أعلاه قد بحثتا في موضوع (التصاريف الدنيا) وليس في ظاهرة الجفاف حسب تعريف [2]. إذ أهملت هاتين الدراستين الاعتمادية (Correlation) الموجودة بين فترات الجفاف المتتالية إضافة إلى عدم تطرقها لموضوع قسوة الجفاف (Severity) المتلازمة مع فترة الجفاف (Duration).

في حين اقترح [1] تقنية حديثة لاستنتاج مؤشر ودليل عملي لفعالية الجفاف باستخدام أسلوب المنطق الضبابي (Fuzzy Logic) وكانت الطريقة محاولة لإيجاد آلية تمكن صانعي القرار من اتخاذ إجراءات احترازية بشكل مبكر للتغلب على الصعوبات المقترنة مع هذه الظاهرة الطبيعية. تم بيان إمكانات التقنية المقترنة بتطبيقاتها على محطة قياس التصريف في منطقة الفتحة الواقعية على نهر دجلة، إذ يتتوفر سجل للجريان اليومي ولمدة 58 سنة. تم تهيئة ثلاث مجاميع فصلية للجريان، كل فصل مكون من ثلاثة أشهر، كي تمثل كل من الخريف والشتاء والربيع من البيانات المتوفّرة لغرض بناء دوال الانتماء (Membership Functions) التي يتطلّبها أسلوب المنطق الضبابي. وتم توصيف الجريان الموسمي بـ (Mehmeli ، واطئ ، وسط ، عالي) فيما تم توصيف الجفاف بأربع حالات هي ( لا جفاف ، وسط ، شديد ، متطرف). استُنبط 64 دليل عمل خاص بالمنطق الضبابي لغرض إكمال التقنية المقترنة. وقد بُينت النتائج إمكانية التعرف على الشدة النسبية للجفاف على مقياس يتراوح بين 0 - 100 لمنطقة التي تمت دراستها. لم تطرق الدراسة إلى تردد فترة وقسوة الجفاف. كما ان سلسلة الجريان المستخدمة والبالغة 58 سنة تعتبر غير كافية ل Linguistic فضاء طيف الجريان المتوقع وروده إلى محطة القياس التي تم فيها دراسة ظاهرة ظاهرة الجفاف.

ويجدر بالذكر إن البحث الحالي يتناول نفس محطة قياس التصريف ولنفس سنوات القياس كدراسة حالة لمحاولات إيجاد احتمالات تردد فترات الجفاف وقوتها لمنطقة الفتحة ولكن باستخدام آليات توليد سلاسل بيانات إضافية وذلك بالاستعانة بنماذج تصادفية لغرض إتمام الدراسة .

### تصنيف الجفاف

تعتبر فعالية الجفاف ظاهرة متكررة الحدوث، وبشكل عام يمكن اعتبار الانخفاض الملاحظ في معدل سقوط الأمطار هو بداية لحدوث الظاهرة التي قد تمت تأثيراتها لفترة طويلة . لذا يوجّب أن لا يقتصر الأمر على توقع حدوث الجفاف، بل ينبغي أيضاً بيان مدى الاستعداد لمواجهة مثل هذا الموقف والتأهب له بمجموعة من التدابير والإجراءات العملية بغية تحفيظ آثاره السلبية.

يمكن تصنيف الجفاف وبشكل مختصر إلى ثلاثة أنواع هي:

1. **الجفاف المناخي** الذي يمكن تعريفه بأنه نقص شديد بالأمطار الساقطة تمتد إلى فترات طويلة الأمد.
2. **الجفاف الزراعي** وهو تطور في فعالية الجفاف المناخي حيث يشل نمو المحاصيل بسبب عدم كفاية رطوبة التربة.

3. **الجفاف الهيدرولوجي** ويلاحظ عادة بعد تشخيص الجفاف الزراعي ويمكن ملاحظته من انخفاض حاد في مستويات المياه في الأنهار والبحيرات الطبيعية والاصطناعية وغيرها من المسطحات المائية. تم التركيز في البحث الحالي على الجفاف الهيدرولوجي نظراً لطبيعة الاختصاص إضافة إلى ما متوفّر من بيانات للجريان تتناسب مع أهداف الدراسة.

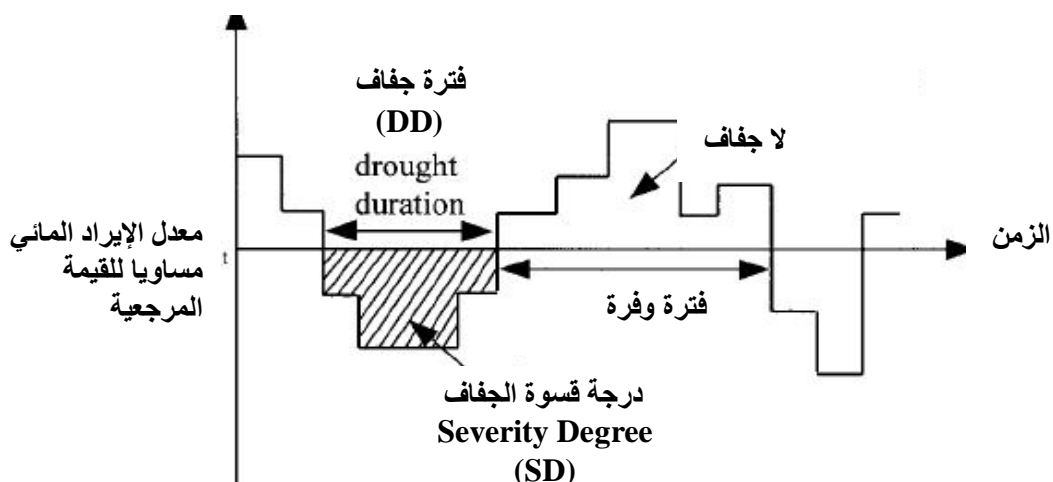
يمكن اعتبار الجفاف كحدث منفرد (قيمة نقطية) لأن يكون مقدار الجريان الذي يقل عن قيمة مرجعية (threshold) في سنة ما، أو قد يكون حدثاً مستمراً (a run) إذ يدوم الجفاف لعدة سنوات. كما يمكن لهذه الأحداث أن تحدث بشكل مستقل زمنياً متتالاً هي عليه الحال عند تحديد ذروة الفيضان السنوية، أو أن تكون أحداثاً ذات اعتمادية زمنية كمعدل الجريان السنوي لنهر ما. إن إيجاد احتمالية حدوث جفاف ذو فترة حرجة وبقسوة معينة في منطقة الدراسة التي تم اختيارها هو موضوع هذا البحث. سيتم اعتبار حجم الجريان السنوي الوارد إلى محطة القياس هو المتغير الرئيسي، وبناء على ذلك فإن الجفاف الهيدرولوجي سيعرف بأنه ذلك الحدث الذي خلاله سيكون حجم الجريان السنوي الوارد أقل من مستوى معين. كما إن نظرية الحدث المستمر (Theory of Runs) وكما اقترح من قبل [3] هي التي سيعول عليها في إيجاد احتماليات حدوث فترات جفاف حرجة وبقسوة ما.

### نظرية الحدث المستمر (خلفية نظرية) (Theory of Runs)

تعرف نظرية الحدث المستمر [3] بأنها تتبع لنفس نوع القيم المرصودة (أن تكون قيمة موجبة) والتي يجب أن تكون مسبوقة ومتبوعة بقيمة مرصودة واحدة على الأقل من النوع المخالف لها (أن تكون قيمة سالبة).

يحدث الجفاف الهيدرولوجي عندما تكون قيم الجريان الوارد في النهر أقل من قيمة مرجعية تحدد مسبقاً (أن تكون المعدل السنوي للجريان أو المتطلبات السنوية في منطقة أسفل النهر) وبشكل يستمر إلى فترة زمنية. بالإمكان ملاحظة خاصيتين مهمتين لظاهرة الجفاف هما الفترة الزمنية التي يستمر بها الجفاف (DD) وقوسونته (SD) وكما موضح في الشكل (1) أدناه. تعرف الفترة الزمنية للجفاف (DD) بأنها تلك الفترة التي خلالها تكون قيم الجريان الوارد وبشكل مستمر أقل من القيمة المرجعية المحددة في حين أن قسوة الجفاف (SD) هي مجموع العجز الحالى تحت مستوى القيمة المرجعية لفترة حدث الجفاف. ومن ناحية أخرى ، فإن فترة انعدام الجفاف والوفرة هي الفترة الزمنية والزيادة المجتمعنة فوق مستوى القيمة المرجعية لحدث الوفرة وانعدام الجفاف على التوالي. الشكل (1) يبين مخططًا يوضح خواص الجفاف الهيدرولوجي على افتراض إن القيمة المرجعية مساوية لمعدل الإيراد المائي.

الإيراد المائي



الشكل (1) مخطط افتراضي لتوضيح فترة وقسوة الجفاف الهيدرولوجي بالنسبة إلى قيمة مرجعية.

ومنه يمكن تعريف معلمة ثالثة لحدث الجفاف هي معدل شدة الجفاف (Drought Intensity) DI وكالآتي:

$$DI = SD / DD \quad \dots \quad (1)$$

كما إن القيمة المرجعية المبينة في الشكل (1) يمكن أن تكون قيمة ثابتة أو قيمة متغيرة مع الزمن (Variable) أو قيمة متغير تصادفي (Stochastic Variable) وعادة ما يتم اختيار هذه القيمة كنسبة من معدل الجريان الوارد أو المعدل نفسه عند دراسة الجفاف الهيدرولوجي. لقد وقع الاختيار في هذه الدراسة على قيمة مرجعية متساوية لمعدل الإيراد المائي السنوي الوارد إلى محطة القياس تحت الدراسة.

إن آلية تحليل حدث الجفاف إحصائياً ستعتمد وبشكل خاص على استبطاط قيم المعلمتين (SD),(DD) ، غير انه ولغرض تحقيق هذا الهدف فلابد من تبني نموذجاً تصاديفياً وكما سيتم تفصيله لاحقاً.

### التحليل الإحصائي لفترة الجفاف (DD) كمتغير عشوائي (مستقل)

لفرض التعبير عن احتمالية حدوث فترات الجفاف المختلفة فإنه بالإمكان اشتقاقها من تكامل دالة كثافة الاحتمال التساهمية (joint probability density function,Joint PDF) ، إلا أنه وفي معظم المشاكل الهندسية ذات الطبيعة التصادفية فإن دالة كثافة الاحتمال التساهمية عادة ما تكون غير قابلة للتكامل [14].

ومن المعروف أن احتمالية عدد  $N$  من قيم متغير عشوائي مستقل تقل عن قيمة مرجعية  $x_0$  (Threshold) تساوي حاصل ضرب جميع احتماليات قيم المتغير التي تقل عن تلك القيمة المرجعية، ويمكن التعبير عنها:

$$P[N] = P[x_1 < x_0] \cdot P[x_2 < x_0] \cdot \dots \cdot P[x_i < x_0] \cdot P[x_{i+1} < x_0] \cdot \dots \cdot P[x_N < x_0] \quad \dots \quad (2)$$

وإذا اعتبرنا إن المتغير العشوائي المستقل هو فترة الجفاف (DD) والمتغير ( $x_i, i=1,2,\dots,N$ ) يعبر عن قيم حجم الجريان السنوي الوارد القياسي إلى نقطة معروفة (محطة قياس تصريف على سبيل المثال) وان  $x_0$  هي القيمة المرجعية القياسية التي إذا قلت عنها قيم  $x_i$  فإنها تعتبر ضمن فترة الجفاف، ولكي يصبح  $x_i$  قياسياً (بعد التحويل) فإنه سيكون بمعدل صفر وانحراف معياري مقداره واحد وحسب المعادلة:

$$x_i = (v_i - v_{\text{mean}}) / \sigma_v \quad \dots \quad (3)$$

حيث أن:

$v_i$  يمثل حجم الجريان السنوي في أي سنة.  
 $v_{\text{mean}}$  يمثل معدل حجم الجريان السنوي.  
 $\sigma_v$  الانحراف المعياري للجريان.

وبذلك يمكن إيجاد احتمالية فترة الجفاف(DD) الأقل من الفترة N وكما يلي:

$$P[DD < N] = P[N] \quad \dots \quad (4)$$

إن المعادلة (2) قد افترضت إن حجم الجريان السنوي الوارد هو متغير عشوائي مستقل ولذلك فإن احتمالية كون الجريان هو أقل أو أكبر من قيمة معينة يمكن حسابها من تكامل دالة كثافة الاحتمال (Probability Density Function) PDF (CDF) Cumulative Density Function والتي سينتج عنها:

$$P[x \leq x_0] = p \quad \dots \quad (5)$$

$$P[x > x_0] = q = 1-p \quad \dots \quad (6)$$

بإمكان إيجاد احتمالية الأكبر من (Exceedance Probability) لطول فترة الجفاف (DD) بالطريقة التي اقترحها [15]:

$$P[DD \geq N] = P[N] + \sum_{M=1}^{\infty} P[M, N] \quad \dots \quad (7)$$

$P[DD \geq N]$  هي احتمالية أن تزيد فترة الجفاف عن N سنة أو تساويها.  
 $P[N]$  هي احتمالية كون حجم الجريان السنوي الوارد أقل من القيمة المرجعية المحددة مسبقاً لعدد من السنين مقداره N .

**P[M, N]** هي الاحتمالية التساهمية (joint probability) بكون حجم الجريان السنوي الوارد اقل من القيمة المرجعية المحددة مسبقاً لعدد من السنين مقداره  $N$  يتبعه حجم جريان اكبر من القيمة المرجعية لعدد من السنين مقداره  $M$

إن الاحتمالية التقليدية وحسب الإحصاء المرتب (Order Statistic) لمتغير عشوائي مستقل له  $N$  من القيم أقل من قيمة مرجعية مقدارها  $x_0$  ما هو إلا الاحتمالية ( $p$ ) مرفوعة للاس  $N$ . أي أن:

$$p^N \sum_{M=1}^{\infty} q^M = p^N [(1/(1-q))-1] = (1/p - 1) p^N$$

غير ان مجموع متواالى هندسيه: ..... (10)

وبتعويض المعادلين (8 ، 10) في المعادلة (7) نحصل على:

أورد [15] عما جاء في [16] من أن احتمالية طول فترة الجفاف والتي تساوي قيمة معينة يمكن حسابها كالتالي:

كما افترض إن احتمالية زيادة أو نقصان قيم الجريان عن قيمة  $x_0$  متساوية أي إن:  $p=q=1-p$  وبالتالي ينبع أن التوصيل إليه بالمعادلة (11) في المعادلة (12) ينبع:

ومن الجدير بالذكر إن  $p$  احتمالية طول فترة الجفاف (DD) (فترة الجفاف التي يكون فيها الجريان الوارد أقل من القيمة المرجعية) يمكن إيجادها حال معرفة دالة كثافة الاحتمال (PDF) للجريان الوارد.

## تحليل (DD) كمتغير معتمد (غير مستقل)

إن من الواضح صعوبة إيجاد احتمالية طول فترة الجفاف الهيدرولوجي والتي تكمن في الحقيقة التي مفادها أن حجم الجريان الوارد إلى محطة القیاس عادة ما يظهر اعتمادية ذاتية (Serial Dependence) حيث لن تعد قيمة دالة كثافة الاحتمال للتغير العشوائي كافية لتقيير قيمة  $p$  (احتمالية طول فترة الجفاف) وكما ورد أعلاه، وإنما تنسى الحاجة ملحة لمعرفة دالة كثافة الاحتمال التساهمية (Joint PDF) لقيم الجريان الحالية والتي سبقتها في الحدوث، أي:

يكون فيها حجم الجريان الوارد أقل من القيمة المرجعية للتغير العشوائي غير المستقل.

تظهر المعادلة (14) الصعوبة النسبية لاشتقاق دالة كثافة الاحتمال التساهمية، إلا أنه يمكن تبسيطها للأغراض العملية

وذلك باختزال معظم القيم السابقة للجريان واقتصرارها على القيمة التي تسبقها مباشرة (First Order Markov Process). وهكذا ستكون احتمالية كون حجم الجريان السنوي الوارد أقل من القيمة المرجعية المحددة مسبقاً معتمدة على قيمة الجريان الوارد للسنة التي تسبقها  $x_{t-1}$  فقط وتدعى في مثل هذه الحالة بالاحتمالية الشرطية (Conditional Probability) والتي يعبر عنها:

$$P[X_i \leq x_0 | X_{i-1} \leq x_0] = P(X_i \leq x_0, X_{i-1} \leq x_0) / p \quad \dots \dots \dots \quad (15)$$

إذ أن:  $P(x_0 \leq x_i \leq x_{i-1})$  دالة كثافة الاحتمال التساهمية لقيمتين متتاليتين من حجم الجريان السنوي الوارد

**p** هي الاحتمالية الحدية (Marginal Probability) لقيمة  $x_i$  اقل من  $x_0$ .

افتراض [15] وكما ورد في [14] بأن دالة كثافة الاحتمال التساهمية لقيمتين متتاليتين من حجم الجريان السنوي الوارد تخصيصاً للتوزيع الطبيعي (Bivariate Normal Distribution) وبتكامل هذه الدالة أمكنه احتساب احتمالية فترة الحفاف بشكل مقول من خلال المعادلة:

$$P[DD = N] = (1-\mu)\mu^{N-1} \quad \dots \quad (16)$$

إذ أن:

$P[DD = N]$  احتمالية طول فترة الجفاف ( $N$ ) من السنين التي يكون فيها حجم الجريان السنوي الوارد أقل من القيمة المرجعية المعروفة مسبقاً.

**٢١** معامل الارتباط الذاتي يختلف مقداره فتره زمنية واحدة.

$$\mu = 1/2 + (1/\pi) \sin^{-1}(\rho_1) \quad \dots \dots \dots \quad (17)$$

وهكذا يصبح بالإمكان إيجاد احتمالية طول فترة الجفاف (DD) باعتبار أن حجم الجريان السنوي الوارد هو فعالية ماركوفية (Markov Process) أو بمعنى آخر إن دالة كثافة الاحتمال التساهمية تخضع للتوزيع الطبيعي ذا المتغيرين اللذين يمثلان حجمي، حر بان لستين متتابعين وفي نفس محطة القباب.

احتمالية معالم الحفاف باستخدام بيانات مولدة بالنماذج (ARMA),(AR)

إن الهدف من توليد بيانات للجريان السنوي الوارد إلى محطة الفتحة لقياس التصريف ولفترات مختلفة هي لإيجاد قاعدة مقارنة بين احتمالية فترة الجفاف المحسوبة من المعادلة (16) وتلك المحسوبة من البيانات المولدة باستخدام ثلاثة نماذج هي (AR<sub>(2)</sub>) . (Lag-one Auto-Regressive Model) (AR<sub>(1)</sub>) و (Lag-two Auto-Regressive Model) . (ARMA<sub>(1,1)</sub>) (Autoregressive-Moving Average) أضاف إلى ذلك إن البيانات المولدة ولفترات زمنية مختلفة و (ARMA<sub>(1,1)</sub>) ستمكن من احتساب احتمالية المعلم المهم الآخر ألا وهو قسوة الجفاف والتي يصعب استبطاطها إحصائياً. لقد وقع الاختيار على النماذج و (AR<sub>(1)</sub>) و (AR<sub>(2)</sub>) (ARMA<sub>(1,1)</sub>) لإنجاز مهمة توليد البيانات. إن استخدام كلاً من النموذجين و (AR<sub>(1)</sub>) ، (ARMA<sub>(1,1)</sub>) يعتبر مبرراً وذلك لكون الكوريلوغرام (Correlogram) (العلاقة التي تربط معامل الارتباط الذاتي  $p$  مع فترات التخلف  $t$ ) الخاص بالبيانات المرصودة والمبين في الشكل (3) والمعطى لاحقاً، يشير إلى تخلف زمني مقداره فترة واحدة. ولكونه لا يتلاشى خلال فترة التخلف الثانية فقد تم تجربة النموذج (AR<sub>(2)</sub>) من باب الاحتياط. أما بشأن مركبة الوسط المتحرك في نموذج (ARMA<sub>(1,1)</sub>) فالسبب وحسب [15] أن هذه المركبة هي التي تعنى بالعوامل المناخية التي تحيط بالفعالية والتي يتاثر بها أداء النموذج. إن بالإمكان اعتبار دراسة ومقارنة أداء ثلاث نماذج في نفس الوقت هو إضافة إلى ماذهب إليه [14] إذ اقتصر تحليله على نموذج منفرد فقط. ولعرض التعرف على المزيد حول النماذج التصاديفية الواردة أعلاه يرجى النظر في المصادرين [17],[18] علماً إن الصيغ الرياضية لهذه النماذج لم ترد في هذا البحث لمحدودية المكان. يسرد الجدول-1 معلم النماذج الثلاث المستخدمة

الجدول- ١ المعالم الاحصائية للنماذج المستخدمة في الدراسة.

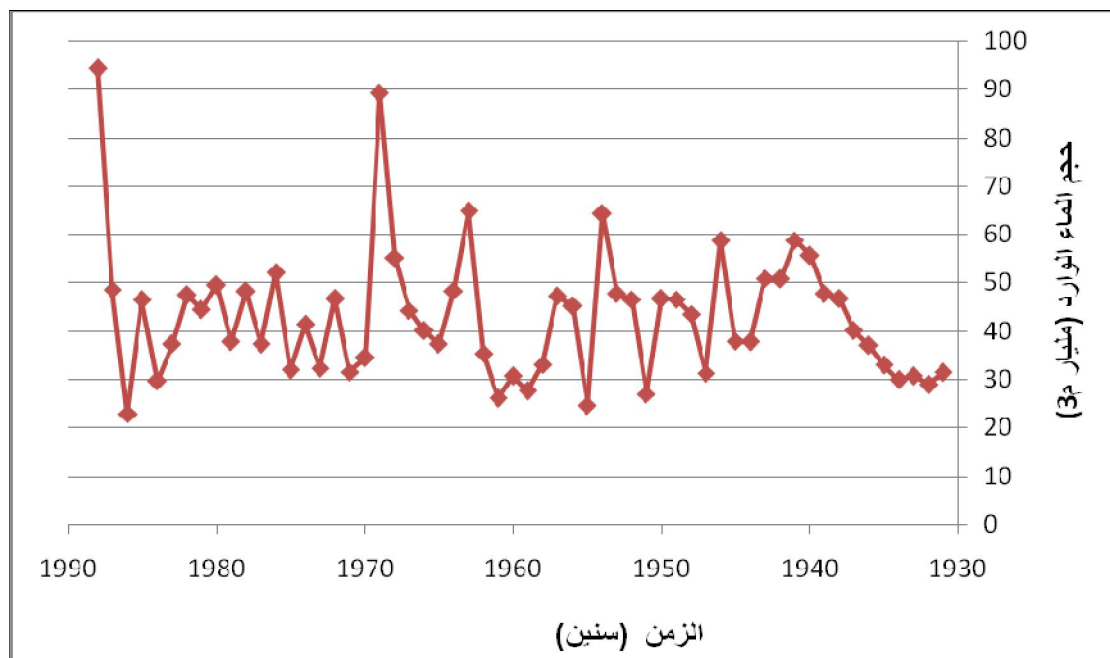
$\theta_1$	$\varphi_2$	$\varphi_1$	النموذج
----	----	0.110321	AR <sub>(1)</sub>
----	-0.019970	0.112524	AR <sub>(2)</sub>
-0.181088	----	-0.068488	ARMA <sub>(1,1)</sub>

وأغرض تهيئة النماذج التصادفية الثلاث فقد تمت الاستعانة ببرنامج نظام تحليل النماذج التصادفية (SAMS-2007) (Stochastic Analysis Modeling System) (وباتصال شخصي مع Prof .J. D. Salas) جامعة كولورادو الأمريكية) وهو أحد المشاركين في تطوير هذا البرنامج الذي يعتبر برنامجاً تخصصياً لتحليل ونمذجة وتوليد بيانات هيدرولوجية اصطناعية كسلسل الجريان التي تحتاجها الدراسة الحالية. إن من أهم خصائص البرنامج [19] ملخص:

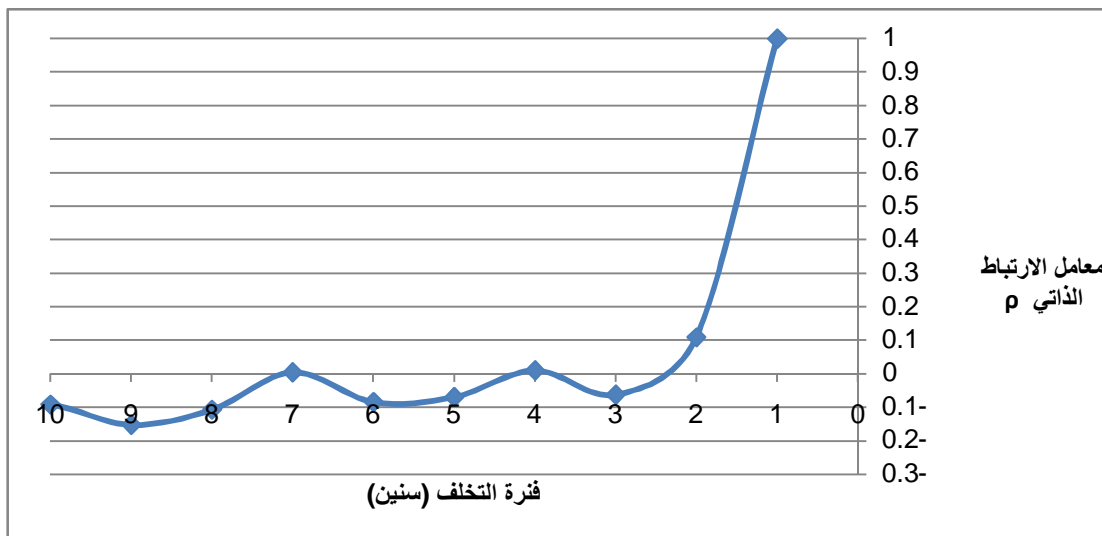
- أ. قابلية على تحليل الملامح التصادفية التي يمكن تواجدها في البيانات السنوية والموسمية على حد سواء.
- ب. يتضمن العديد من التحويلات (Transformations) التي تحول البيانات إلى بيانات قياسية تخضع للتوزيع الطبيعي وهذا التحويل يعتبر ضروريًا لأن معظم النماذج التصادفية تفترض أن البيانات المراد تحليلها تتوزع توزيعاً طبيعياً إذ يعكسه لا تصح عملية النمذجة.
- ت. عدد السلسل الزمنية الممكن توليدها غير محدود.
- ث. بإمكانه تخمين المعالم الإحصائية لعدد من النماذج التصادفية منها، النموذج العام ( $ARMA_{(p,q)}$ ) والنماذج الموسمية ( $PARMA_{(p,q)}$ ). ومن المعلوم أن النموذج ( $AR_{(1)}$ ) هو حالة خاصة من النموذج العام ( $ARMA_{(p,q)}$ ) في حالة ( $p=1, q=0$ ).
- ج. يخصي أعداد فترات الجفاف في البيانات المتوفرة.
- ح. يقدر حجم الخزين الذي يلبي متطلبات مائة مدددة مسبقاً.

### التطبيق

تم استخدام سلسلة حجم الجريان السنوي المرصودة في محطة قياس تصريف الفتحة البالغة 58 سنة، والممتدة بين الأعوام (1931-1988) والمبنية في الشكل (2)، وذلك لإتمام عملية النمذجة لسلسل زمنية وبعدد مجاميع تبلغ 10000, 1000, 100 مجموعة ولسلسل بطول 58 سنة (بنفس طول سلسلة الجريان المرصودة) وباستخدام نماذج ( $ARMA_{(1,1)}, AR_{(2)}, AR_{(1,1)}$ ) في البرنامج (SAMS-2007). وبعد إجراء الخطوات القياسية للنمذجة ، تم إعداد برنامج مبسط باستخدام لغة MATLAB والذي يتضمن إحصاء عدد فترات الجفاف (DD) التي تقل عن القيمة المرجعية، والتي افترض إنها متساوية للمعدل السنوي لحجم الجريان الوارد إلى محطة قياس الفتحة، وكذلك لحساب معدل أعدادها وقسوتها (SD) (كما عرفت سابقاً) في كل مجموعة من المجاميع الثلاث أعلاه . كما تم إعداد مرئيات لمدرجات تكراريه (Histograms) لتردد فترة الجفاف (DD) مع طول فترته التكرارية المقدرة بالسنين وأخر لترددات قسوة الجفاف (SD) مع قيمها وبقترة تكرارية مقدارها 10 مليار متر مكعب من الماء.



الشكل (2) المتسلسلة الزمنية لحجم الجريان الوارد إلى محطة قياس تصريف الفتحة للفترة 1931-1988 والمستخدمة في التحليل.



الشكل (3) الكوريلوگرام الخاص بالمتسلسلة الزمنية لحجم الجريان الوارد إلى محطة قياس تصريف الفتحة للفترة 1988-1931.

### مناقشة النتائج

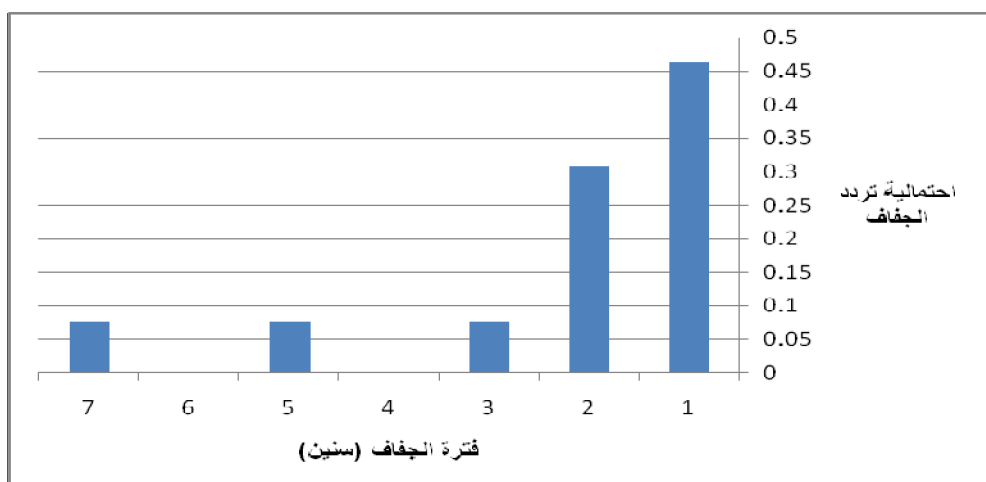
يشير الشكل (3) إلى أن قيمة المعلم  $\rho_1$  الذي يمثل معامل الارتباط الذاتي يتختلف مقداره فتره زمنية واحدة = 0.109 وقد استخدمت لإيجاد قيمة  $\mu$  الضرورية لتطبيق المعادلة (16) لاحتساب الاحتمالية النظرية لطول فتره الجفاف  $N$  من السنين التي يكون فيها حجم الجريان السنوي الوارد أقل من القيمة المرجعية. كما وتم استخدام البرنامج الذي يعمل في بيئة MATLAB لاحتساب كلا المعلمتين، تردد فترات الجفاف وقوستها. في حين استخدمت النماذج الثلاث في توليد سلاسل بطول 58 سنة وبعد عدد 10000, 1000, 100 سلسلة لكل نموذج من النماذج المستخدمة. والجدول-2 يبين احتماليات تردد فترات الجفاف للجريان المرصود والمحسوب والمخمن باستخدام النماذج الثلاث.

الجدول-2 احتماليات تردد فترات الجفاف للجريان المرصود والمحسوب والمخمن باستخدام النماذج الثلاث لتوليد سلاسل بيانات بالأعداد المبنية لحجم المياه الواردة إلى محطة قياس تصريف الفتحة.

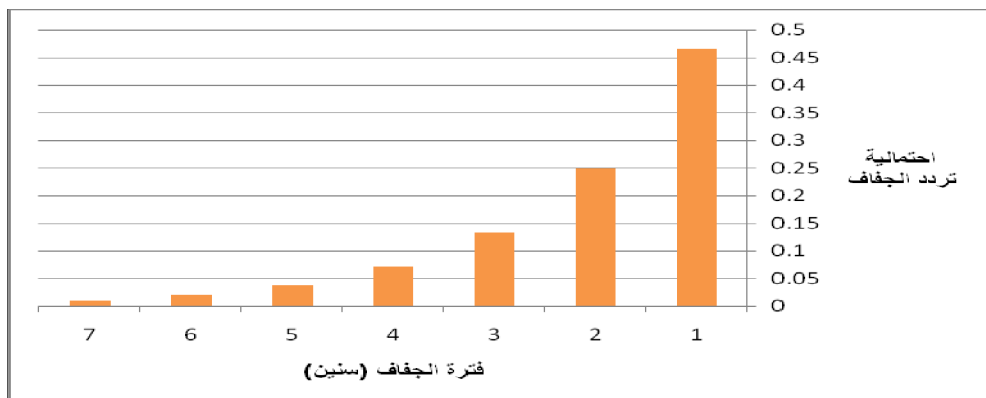
فتره الجفاف (سنين)	سلال مولدة بالنموذج AR(1)	سلال مولدة بالنموذج AR(2)			سلال مولدة بالنموذج ARMA(1,1)			المحسوب	المرصود
		بعد:	بعد:	بعد:	10000	1000	100		
1	0.500	0.308	0.333	0.250	0.429	0.385	0.706	0.462	0.465
2	0.250	0.231	0.250	0.250	0.308	0.308	0.118	0.308	0.249
3	0.153	0.167	0.167	0.167	0.071	0.077	0.188	0.077	0.133
4	0.154	0.154	0.167	0.167	0.143	0.154	0.0	0	0.071
5	0.167	0.167	0.167	0.167	0.071	0.077	0.0	0	0.038
6	0.083	0.077	0.077	0.083	0.083	0.083	0	0	0.020
7	0.0	0	0	0	0	0	0	0	0.010

يلاحظ من الجدول-2 اختلاف في تقدير احتماليات تردد فترات الجفاف بين نموذج وآخر من النماذج الثلاث وذلك اعتمادا على عدد السلاسل المولدة، فعلى سبيل المثال فإن النموذج ARMA(1,1) بعدد سلاسل مقداره 100 سلسلة أعطى نتائج قريبة نسبيا إلى تلك المرصودة وكذلك المحسوبة بالمعادلة (16) واقرب من تلك المخمنة بالنموذجين الآخرين وبنفس عدد السلاسل. (لاحظ الأعمدة الثامن والحادي عشر والثاني عشر من الجدول-2 رجاء).

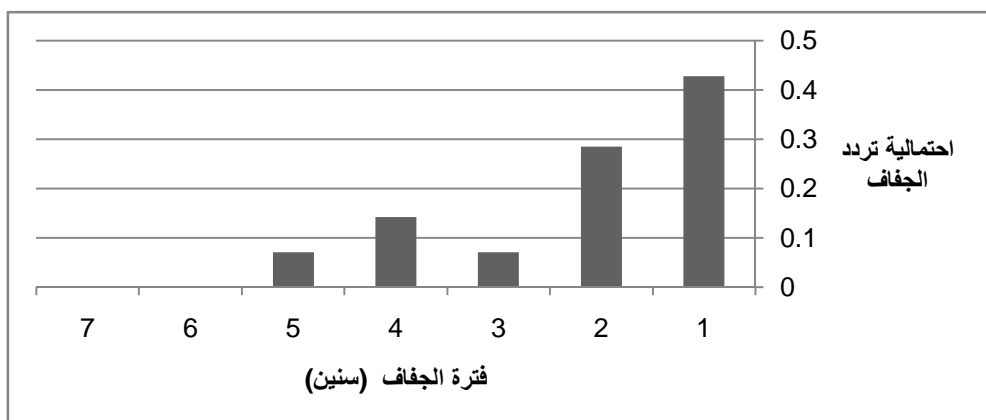
كما يلاحظ التطبيق في التقديرات الراسحة من النموذجين AR(2),AR(1) للسلاسل المولدة بعدد 100، 1000 غير ان هنالك تغيرا في الأداء عندما يبلغ عدد السلاسل 10000 سلسلة. كما ويري الجدول-2 إن النموذج ARMA(1,1) قد قدر احتمالية الجفاف التي مدتها سنة واحدة بـ 70.6% وعدد سلاسل يبلغ 10000 سلسلة، في حين تم تقديرهما من قبل AR(2),AR(1) بـ 30.8% ، 30.8% ، 25.0% على التوالي. توضح الأشكال (6, 5, 4, 3) المدرجات التكرارية المرصودة والمحسوبة والمخمنة بالنموذج ARMA(1,1) بعدد سلاسل مقداره 100 سلسلة وذلك على سبيل التوضيح.



الشكل (4) تردد فترة الجفاف المرصود في محطة قياس تصريف الفتحة لمدة 58 سنة.



الشكل (5) تردد فترة الجفاف المحسوب بالمعادلة (16) لمحطة قياس تصريف الفتحة.



الشكل (6) تردد فترة الجفاف المخمن باستخدام النموذج ARMA(1,1) ولـ 100 سلسلة مولده.

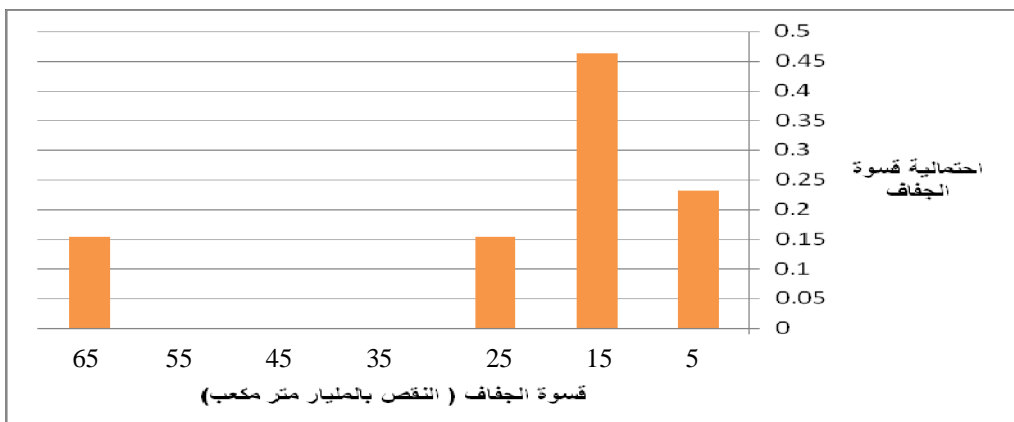
أما ما يخص احتماليات قسوة الجفاف فقد تم تهيئة الجدول-3 أدناه والذي يتضمن الاحتمالية المرصودة لقسوة الجفاف والتي تم تحديدها باستخدام البيانات المرصودة في البرنامج المعد لهذا الغرض والذي يتبنى لغة الـ MATLAB والمنوه عنه أعلاه . كما يحتوي الجدول-3 على احتماليات قسوة الجفاف المحسوبة للبيانات المولده بالنماذج الثلاث وأعداد السلاسل 10000,1000,100 لكل نموذج من النماذج المستخدمة .

## عبد المحسن: تحليل تردد الجفاف الهيدرولوجي (دراسة حالة)

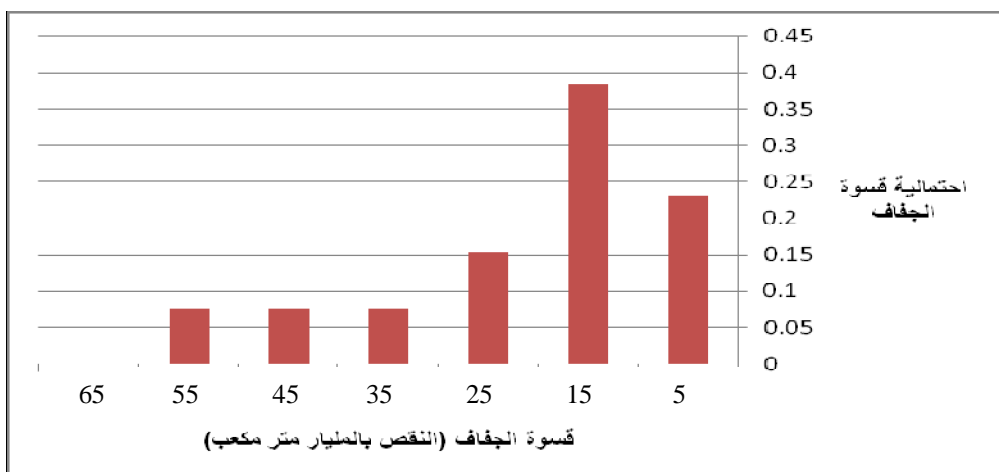
في الوقت الذي تطابقت به احتماليات قسوة الجفاف المخمنة بواسطة النماذج الثلاث لاعداد السلسل 1000,100 سلسلة، يمكن القول إن النموذج (1) AR وبعد سلسلة الـ 10000 كان تخمينه الأقرب نسبياً لاحتماليات قسوة الجفاف المرصودة (غير أن هذا لا يعني أن سلسلة الجريان المرصودة هي ذات فترة عودة مقدارها 10000 سنة). ولقد تم ترك العمود الأخير فارغاً والذي يشير إلى احتمالية قسوة الجفاف المحسوبة نظرياً للدلالة على عدم وجود اشتقاق رياضي محكم يمكن الاعتماد عليه في احتساب هذه الاحتماليات، وإن الحاجة لندعو للعمل على هذا البحث المهم. توضح الأشكال (7),(8) المدرجات التكرارية الخاصة باحتماليات قسوة الجفاف المرصود والمخمن بالنموذج (1) AR لعدد سلسلة المخمنة البالغة 10000 سلسلة على سبيل التوضيح.

**الجدول-3 احتماليات قسوة الجفاف للجريان المرصود وتلك المخمنة باستخدام النماذج الثلاث لمديات مختلفة من النقص في حجم المياه الواردة إلى محطة قياس تصريف الفتحة.**

المحسوبة المرصودة		سلسل مولدة بالنموذج- ARMA(1,1) بعد:			سلسل مولدة بالنموذج- AR(2) بعد:			سلسل مولدة بالنموذج- AR(1) بعد:			قسوة الجفاف (مليار <sup>3</sup> )
		10000	1000	100	10000	1000	100	10000	1000	100	
-	0.231	0.353	0.250	0.333	0.167	0.250	0.333	0.231	0.250	0.333	10-0
-	0.462	0.412	0.250	0.167	0.417	0.250	0.167	0.385	0.250	0.167	20-10
-	0.154	0.059	0.250	0.083	0.167	0.250	0.083	0.154	0.250	0.083	30-20
-	0	0.118	0.167	0.333	0.083	0.167	0.333	0.077	0.167	0.333	40-30
-	0	0	0	0	0.083	0	0	0.077	0	0	50-40
-	0	0.059	0.083	0.083	0.082	0.083	0.083	0.077	0.083	0.083	60-50
-	0.154	0	0	0	0	0	0	0	0	0	70-60



الشكل (7) تردد قسوة الجفاف المرصود في محطة قياس تصريف الفتحة لمدة 58 سنة



الشكل (8) تردد قسوة الجفاف المخمن بالنموذج (1) AR لعدد سلسلة مقداره 10000 سلسلة

يلخص الجدول-4 الخواص الإحصائية للبيانات المرصودة لحجم المياه الواردة إلى محطة قياس تصريف الفتحة وتلك المولدة باستخدام النماذج الثلاث ولمختلف الأعداد من السلاسل. ويبين هذا الجدول انه يصعب تحديد نموذجاً بعينه باعتباره الأفضل من حيث قدرته على المحافظة على الخواص الإحصائية البارزة لسلسلة البيانات المرصودة كالمعدل والانحراف المعياري لأن جميع النماذج المستخدمة قد أبلت بلاءً حسناً في هذا المضمamar. غير أن استعراض بقية المعالم كمعامل الارتباط الذاتي ( وعدد فترات الجفاف وحجم الخزين الذي يلبي متطلبات محددة )، وهذه المعالم هي من مخرجات البرنامج SAMS-2007 يظهر ان النماذج الثلاث قد تباين أداءها، وفي الوقت الذي يتتفوق أحدها على آخر أنه في تخمين بعض هذه الملامح يحقق في أخرى. وهنا تبرز معضلة اختيار النموذج الملائم الذي يلبي متطلبات النموذج.

ولابد من الإشارة إلى أن طرق النماذج التقليدية قد وفرت طرقاً إحصائية بحثة لغرض عملية اختيار النموذج الملائم منها المعيارين (Aikaike information criterion, AICC) و (Schwarz information criterion, SIC). تم وضع قيم هذه المعايير في الجدول-5 إزاء كل نموذج من النماذج الثلاث.

**الجدول-4** الخواص الإحصائية للبيانات المرصودة لحجم الماء الوارد إلى محطة قياس تصريف الفتحة وتلك المولدة باستخدام النماذج الثلاث ولمختلف الأعداد من السلاسل.

حجم الخزين الذي يلبي متطلبات مساوية للمعدل (مليار م <sup>3</sup> )	عدد فترات الجفاف	معامل الارتباط لفترات زمني $\rho_1$	انحراف المعياري مiliar م <sup>3</sup>	المعدل مiliar م <sup>3</sup>	النموذج المستخدم	عدد السلاسل المولدة
75.789	7	0.1093	13.520	42.970	من البيانات المرصودة	
123.600	6.95	0.0761	12.670	42.660	AR(1)	100
122.100	6.82	0.0772	12.680	42.660	AR(2)	
117.600	6.863	0.0774	12.960	42.870	ARMA(1,1)	
119.000	6.995	0.0834	12.900	42.840	AR(1)	
117.600	6.912	0.0843	12.910	42.840	AR(2)	1000
117.600	6.863	0.0780	13.020	42.930	ARMA(1,1)	
117.400	6.885	0.0799	13.030	42.940	AR(1)	
116.000	6.816	0.0807	13.030	42.940	AR(2)	
116.400	6.824	0.0780	13.020	42.930	ARMA(1,1)	10000

**الجدول-5** قيم المعايير الإحصائية التي تبين حسن اداء كل من النماذج الثلاث المستخدمة.

SIC	AICC	النموذج المستخدم
61.350	61.508	AR(1)
65.388	63.711	AR(2)
65.387	63.710	ARMA(1,1)

وبالرغم من أن الجدول-5 يبيّن إن النموذج AR(1) يبز أقرانه باعتبار إن قيم AICC و SIC هي الأقل إلا أن ذلك مبني على المعطيات الإحصائية البحثة وليس على مدى حسن أداء النموذج في تخمين عدد فترات الجفاف وحجم الخزين على سبيل المثال.

### الاستنتاج

لاشك إن معرفة احتماليات تردد فترات الجفاف وقسواتها تمكن صانع القرار من الإعداد المبكر لإجراءات تخفف من وطأة الجفاف على الناس ومنها على سبيل المثال تحديد حجوم خزانات المياه المخطط لها. و في الوقت الذي ذهبت فيه بعض الدراسات السابقة والتي عنيت بموضوعة الجفاف في العراق إلى معالجة مسألة التصارييف الدنيا باعتبارها أحداث عشوائية مستقلة وبذلك تكون قد ابتعدت عن تناول موضوع الجفاف بوصفه حدثاً غير مستقل ، بل وتزداد تأثيراته بشكل قاس كلما امتدت فتراته. جاءت الدراسة الحالية لكي تضع حجر زاوية وإطار عمل لدراسات مستقبلية تخص ظاهرة الجفاف التي تؤثر كثيراً على البلد.

أكدت الدراسة الحالية إن الاعتماد على مامتوفر من بيانات مسجلة (عادةً ما تكون قصيرة الأمد إن توفرت) لغرض دراسة احتماليات الجفاف (فترة وقصوة) قد يقودنا إلى استنتاجات خاطئة وغير ناضجة لأن هذه البيانات لا تمثل الاجزءاً يسيراً من طيف البيانات التي تتخض عن النظام الهيدرولوجي المراد دراسته. وبناءً على ذلك فإن الحاجة تدعو للجوء إلى مайдى عى Operational Hydrology (لغرض الحصول على المزيد من البيانات التي تزوينا بنظرة أعمق عن النظام . الا انه

يجدر القول هنا أن البيانات المولدة بهذه الطريقة سوف لن تحتوي على معلومات أكثر من تلك التي نحاول استخلاصها من البيانات المرصودة، أي إنها لا تحسن من نوع البيانات المسجلة إذا اشتغلت أساساً على ضعف، غير أنه لا يمكن التغريط بأهميتها الإحصائية.

كما دلت النتائج على فائدة استبطان النماذج التصادفيه والتي ساعدت على التعويل على الاحتماليات المخمنة إضافة لإمكانيتها في احتساب احتمالية قسوة الجفاف التي يصعب اشتقاقها رياضياً. كما لوحظ تفاوت أداء النماذج في إمكانية حافظتها على الخواص الإحصائية للسلسلة الزمنية المرصودة. ففي الوقت الذي أبلى به أحد النماذج بلاءً حسناً في المحافظة على المعالم المرصودة، اخفق في تخمين أخرى. وبذلك فقد برز البحث الحالي الاستنتاج الذي مفاده إن اعتماد النماذج المناسب لا يتم وفق المعايير التي توفرها الطرق الإحصائية البحتة وإنما يعتمد بشكل كبير على ماهية المعالم والخواص المراد دراستها.

يوصي الباحث بالتحقق من النتائج التي ذهب إليها البحث الحالي وذلك بتحديث بيانات حجم الجريان السنوي الوارد إلى محطة قياس التصريف في الفتحة للأعوام 1989 صعوداً.

### المصادر

1. Al-Mohseen, K. A., "Drought Assessment for Fatha Region using Fuzzy Logic Approach", *Proceedings of the Georgia Water Resources Conference, University of Georgia. Athens, Georgia*, 27-29 April, 2009.
2. Dracup, J. A., Lee, K. S., and Paualson, JR, E. G., "On the definition of Drought", *Water Resources Research*, Vol. 16, No. 2, 297-302, 1980.
3. Yevjevich, V., "An objective approach to definitions and investigations of continental hydrologic droughts", *Hydrology Papers No. 23*, Colorado State University, Fort Collins, USA, 1967.
4. Sen, Z., 'Statistical analysis of hydrologic critical droughts', *Journal of Hydraulics Division, ASCE*, 106(1), 99–115, 1980.
5. Chang, T. J., "Effects of Drought on Streamflow Characteristics", *Journal of Irrigation and Drainage Engineering, ASCE*, Vol. 116, No. 3, 1990.
6. Frick, D. M., Bode, D., and Salas, J. D., "Effect of drought on urban water supplies. I: Drought Analysis", *Journal of Hydraulic Engineering, ASCE* 116(6), 733–753, 1990.
7. Fernández, B., and Salas, J. D., 'Return period and risk of hydrologic events. I: Mathematical formulations', *Journal of Hydrologic Engineering, ASCE* 4(4), 297–307, 1999.
8. Chung and J. D. Salas, "Drought Occurrence Probabilities and Risks of Dependent Hydrologic Processes", *Journal of Hydrologic Engineering, ASCE*, Vol. 5, No. 3, 2000.
9. Kim, T. W., Valdés, J. B., and Yoo, C., 'Nonparametric approach for estimating return periods of droughts in arid regions', *Journal of Hydrologic Engineering ASCE* 8(5), 237–246, 2003.
10. Pandey, R. P. & S. K. Mishra & Ranvir Singh & K. S. Ramasastri, "Streamflow Drought Severity Analysis of Betwa River System (India)", *Water Resour. Manage.*, Springer Science 22: 1127–1141, 2008.
11. Sarlak N., E. Kahya and O. A. Beg, "Critical Drought Analysis: Case Study of Goksu River (Turkey) and North Atlantic Oscillation Influences", *Hydrological Journal, ASCE*, 2009.
12. Fattah, Majda M., "Flood and Drought Characteristics of Tigris River", *MSc. Thesis*, College of Engineering, University of Mosul, 1979.
13. الانصاري، نضير، الحمداني، عادل، سيفي، علي محمد صادق، "احتمالية تردد الجفاف لنهر الزاب الأعلى"، مجلة الموارد المائية، المجلد السادس، العدد الثاني، 1988.
14. Goldman, D., "Stochastic Analysis of Drought Phenomena", *US Army Corps of Engineers, Hydrologic Engineering Center*, July, 1985.
15. Sen, Z., "Wet and dry periods of annual flow series", October, *ASCE, HY10*, 1503-1514, 1976.
16. Feller, W., "An Introduction to Probability Theory and its Applications", Vol. I, 3<sup>rd</sup> Ed., Wiley, New York, 1968.
17. Salas, J. D., J. W. Delleur, V. Yevjevich, and W. L. Lane, "Applied Modeling of Hydrologic Time Series", Water Resources Publications, Littleton, Colorado, 1980.
18. Kotegoda, N. T., "Stochastic Water Resources Technology", Halsted Press, John Wiley and Sons, New York, 1980.
19. Sveinsson O. G. B., J. D. Salas, W. L. Lane, and D. K. Frevert, "Stochastic Analysis, Modeling, and Simulation (SAMS) Version 2007, USER's MANUAL, Computing Hydrology Laboratory, Department of Civil and Environmental Engineering, Colorado State University, Fort Collins, Colorado, 2007.